炭素繊維複合ケーブルを用いた再生コンクリート梁部材の構造特性 一その2 1年経過時の付着性状—

日大生産工(院) 〇関 真太朗 日大生産工 師橋 憲貴 日大生産工 小山 潔 日大生産工 桜田 智之

1. はじめに 環境問題は世界的な問題であ り、建設業界の分野においても例外ではない。 建設業界における環境負荷低減に有益な配慮 として、資源の再利用、構造物の長寿命化や 軽量化が挙げられる。コンクリート構造物の リサイクルという観点から、再生骨材に関す る研究が進められてきた。中品質再生コンク リートは、乾燥収縮率が高く、乾燥収縮ひび 割れが多量発生することが明らかになってい る ¹⁾。乾燥収縮ひび割れが発生すると、そこ から侵入した雨水や塩分などによって、鉄筋 が腐食し、鉄筋コンクリート構造物の耐久性 が低下し、コンクリート片剥落等の危険性が 懸念される。環境負荷低減のためにも鉄筋コ ンクリート構造物の長寿命化を図る必要があ るため、耐久性の高い鉄筋に代わる新たな補 強材が必要と考える。構造物の長寿命化や軽 量化を目的として、繊維補強プラスチック(以 下FRP: Fiber Reinforced Plastics) 補強 材をコンクリート構造物に用いる研究が進め られている。FRPは鉄筋コンクリート構造物に おける主筋の補強材としての研究が進んでい るが、補強材以外の研究はあまり成されてい ない。そこで本研究では、将来鉄筋に代わる 耐久補強材の先駆けとしてFRPのひとつであ り鉄筋よりも引張強度が高く耐食性の高い炭 素繊維複合ケーブル(以下CFCC: Carbon Fiber Composite Cable)で補強されたコンクリート を提案する。その1では、鉄筋の代替として

主筋にCFCCを用いた再生コンクリート梁試験体を作製したのちに、材齢5週時の付着性状の検討を行った。その結果、CFCCを主筋に用いた梁試験体は、鉄筋を主筋に用いた試験体よりも剛性が劣る結果となったことを報告した。本報では、材齢1年時における梁試験体の付着割裂強度について検討を行った結果について報告する。

表-1 試験体詳細

試験体名	骨材 置換率	主筋	載荷時期
RMEF	砕石	D19	5週経過時
RMEF1K	50% 再生粗骨材	(SD685)	1年経過時
RMC	50% 天然砂	CFCC	5週経過時
RMC1K	100%	$(1 \times 19 \ 20.5 \phi)$	1年経過時

重ね継手長さℓs=570mm共通

表-2 コンクリートの調合

W / G	単位質量(kg/m³)				
W/C (%)	水	セメント	粗骨材		細骨材
			砕石	再生	天然
65. 0	180	277	449	413	900

表-3 骨材の品質

骨材	絶乾密度 (g/cm³)	表乾密度 (g/cm ³)	実積率 (%)	吸水率 (%)
砕石	2.70	2. 68	60.0	0.86
再生粗骨材	2.48	2. 37	61.0	4.63
天然砂	2.61	2.54	65. 0	2.65

表-4 フレッシュ性状

スランプ	空気量	コンクリート温度
(cm)	(%)	(°C)
22. 7	5. 0	23. 5

Structure Characteristic on the Recycled Aggregate Concrete Beam using Carbon Fiber Composite Cable
-Part. 2 Bond Properties after Material Age of One Year Passes-

Shintaro SEKI, Noritaka MOROHASHI, Kiyoshi KOYAMA and Tomoyuki SAKURADA

- 2. 実験概要 表-1 に試験体詳細を示す。本研究では、主筋に鉄筋を用いた RMEF シリーズと、主筋に CFCC を用いた RMC シリーズを作製した。骨材は、粗骨材の砕石に対する置換率を再生粗骨材 50%、細骨材に天然砂を 100%用いた。本研究では、主筋に CFCC を用いた再生コンクリート梁試験体の付着割裂強度を検討するため、梁部材中央部(重ね継手区間)が純曲げ区間となるように、2 点集中荷重による正負繰り返し載荷を行った。
- 2.1 調合とフレッシュ性状 表-2 にコンク リートの調合を示し、表-3 にコンクリートに 用いた骨材の品質を示す。使用した再生骨材 に関しては、中品質再生骨材 M のものを用い た。表-4 にフレッシュ性状を示す。調合は、 スランプ 18±2.5cm、空気量 4.5±1.5%を目標 として行った。
- 2.2 炭素繊維複合ケーブルの特性 図-1 に C FCC の断面を示す。各素線は炭素繊維と樹脂 からなるコアとその周辺を取り巻くポリエス テル被覆層から構成されている炭素繊維強化 プラスチック (CFRP: Carbon Fiber Reinf orced Plastic)を素材に、それをよった構 成になっている。介在する樹脂によって相互 が接着されているためコアと被覆層は一体と なっている。CFCC はより合わせ構造であり、 強化繊維の方向が長手方向と一致した一方向 複合材に近いものである。表-5 に CFCC の形 状と性質を、表-6に鉄筋の形状と性質を示す。 CFCC は比重が鉄筋の約 1/5 と軽く、引張強度 は鉄筋よりも強い。CFCC は弾性的なケーブル なので降伏をしない。そのため、最大応力時 が引張強度となる²⁾。本研究では、鉄筋に用 いられる規準値を CFCC にも当てはめて付着 割裂強度について検討を行った。そのため、C FCC の長期許容応力度については、鉄筋に相 当した場合として扱った。また、鉄筋コンク リートは、鉄筋とコンクリートの線膨張係数

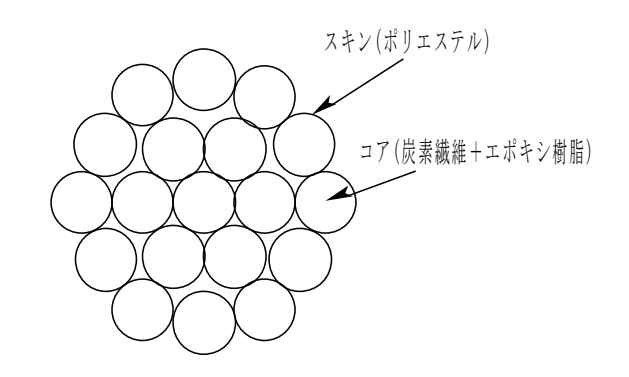


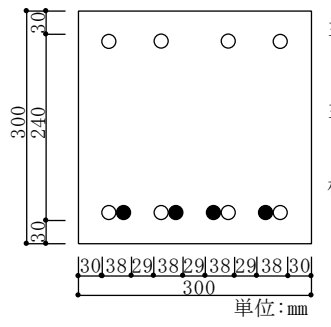
図-1 CFCC の断面

表-5 CFCC の形状と性質

	形状		機械的性質		
'	直径(mm)	21.3	引張強度(N/mm²)	1530	
CFCC 1×19	有効断面積(mm²)	206. 2	降伏点	_	
1 × 19 20. 5 φ	単位質量(g/m)	400	弾性係数(N/mm²)	1.37×10^{5}	
	比重(g/cm³)	1.5	線膨張係数(1/℃)	0.6×10 ⁻⁶	

表-6 鉄筋の形状と性質

	形状		機械的性質		
	直径(mm)	19. 1	引張強度(N/mm²)	656	
SD685 D19	有効断面積(mm²)	287. 0	降伏点(N/mm²)	656	
	単位質量(g/m)	2250	弾性係数(N/mm²)	1.89×10^{5}	
	比重(g/cm³)	7.85	線膨張係数(1/℃)	約10×10 ⁻⁶	



主筋: D19 SD685 $\sigma_{y} = 656 \, (\text{N/mm}^{2}) \\ E_{s} = 1.89 \times 10^{5} \, (\text{N/mm}^{2}) \\ 主筋: CFCC \ 1 \times 19 \ 20.5 \, \phi \\ \sigma_{y} = 1530 \, (\text{N/mm}^{2}) \\ E_{s} = 1.37 \times 10^{5} \, (\text{N/mm}^{2})$

横補強筋: D10 SD295 σ_y =278 (N/mm²) E_s =1.81×10⁵ (N/mm²)

図-2 試験体断面

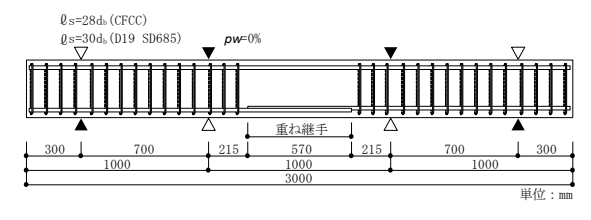


図-3 試験体形状

が限りなく同じ値であるため成立する構造物である。CFCC はコンクリートに比べ、線膨張係数が小さいので、膨張率の違いからコンクリートに対する影響が懸念される。これにより、乾燥収縮ひび割れ及び剛性に影響を与えることが考えられるため、材齢長期経過時における試験体のそれらについて検討を行う。

2.3 試験体形状 図-2 に試験体断面、図-3 に試験体形状を示す。試験体は、300 mm×300 mm×3000 mm×3000 mmの梁試験体とし、梁試験体中央部下端筋に重ね継手区間(重ね継手長さ570 mm)を設け、付着性状を検討する形式とした。主筋に鉄筋とCFCCをそれぞれ試験体に用い、主筋から側面および底面までのかぶり厚さは30mmとした。また、重ね継手区間は、pw=0%とし、横補強筋は配筋していない。

3. 実験結果

3.1 最終破壊形状 表-7 に実験結果一覧を、 図-4 に最終破壊形状、図-5 に主筋長期許容応 力度時の最大曲げひび割れ幅 Wmax を示す。 CFCC を主筋とした RMC シリーズは鉄筋を主筋 とした RMEF シリーズよりも、最大曲げひび割 れ幅は大きくなり、最大荷重は小さく、付着 割裂強度も小さい値となった。破壊モードは、 全ての試験体において、重ね継手区間に付着 ひび割れが急激に進展するサイドスプリット 型の付着割裂破壊形式であった。CFCC を主筋 とした RMC シリーズにおいては、コンクリー トの剥落が見られなかった。材齢1年時にお ける CFCC を用いた試験体の Wmax は、日本建 築学会 鉄筋コンクリート構造計算規準・同解 説³⁾の制限目標値0.25mmを下回る結果となっ たが、鉄筋を用いた試験体と比べ、曲げひび 割れ幅が大きくなる傾向を示した。これは、 CFCC の変形にコンクリートが追従できなか ったためと考える。

3.2 変位性状 図-6 に各試験体における荷 重-変位曲線の正加力時の包絡線を示す。荷重

表-7 実験結果一覧

試験体名	コンクリート 強度	最大曲げ ひび割れ幅	最大荷重	付着割裂 強度
	о в	W_{max}	P _{max}	τи ежр.
	(N/mm^2)	(mm)	(kN)	(N/mm^2)
RMEF	23.5	0.16	226.0	2.54
RMEF1K	30.5	0.16	275.0	3.09
RMC	23.5	0.38	196. 5	2.21
RMC1K	30.5	0.24	225.0	2.53

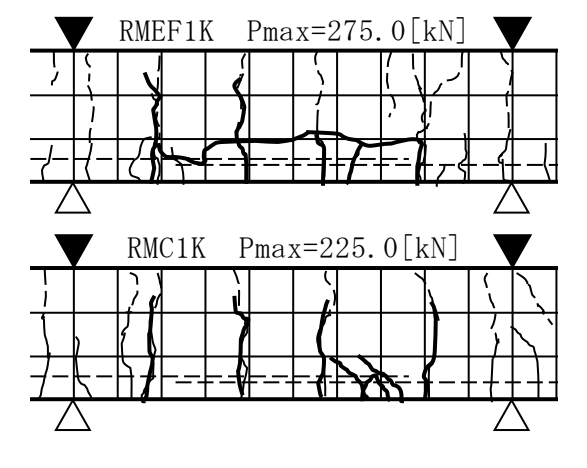


図-4 最終破壊形状(側面)

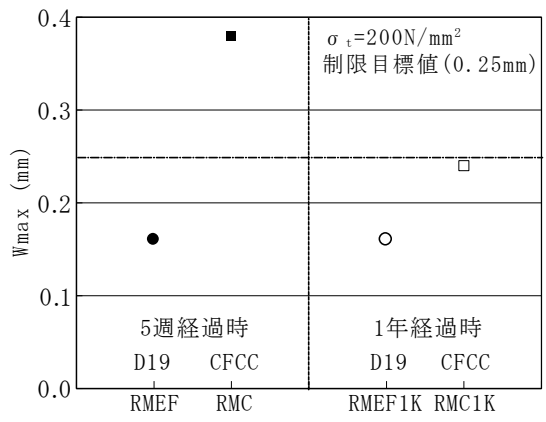


図-5 主筋長期許容応力度時の 最大曲げひび割れ幅

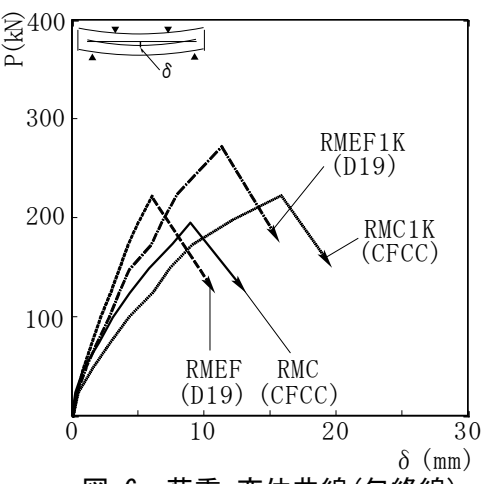


図-6 荷重-変位曲線(包絡線)

の制御は鉄筋の応力が σ_t =100N/mm² ずつ増加するよう行い、CFCC の応力も同様の増加をするよう荷重の制御を行った。また、変位は中央変位 δ を示した。主筋に CFCC を用いた試験体は、鉄筋を用いた試験体に比べて初期剛性が小さくなった。これは、CFCC が鉄筋に比べて弾性係数が小さいためと考える。

3.3 付着割裂強度 付着割裂強度は式(1)により求めた。

$$\tau_{\text{u exp.}} = \frac{M_{\text{u}}}{j \cdot \phi \cdot \ell_{\text{S}}} \quad (\text{N/mm}^2) \tag{1}$$

M_n: 最大曲げモーメント(N・mm)

j:(7/8)d(d:梁有効せい)

4-D19 260.5mm

CFCC 1×19 20.5 ϕ 249.0mm

 ϕ : 鉄筋周長(4-D19 240mm)

CFCC 周長(CFCC 1×19 20.5 φ 257mm)

Qs: 重ね継手長さ(570mm)

図-7に付着割裂強度を示す。材齢 5 週時における試験体の付着割裂強度は概ね同等となったが、材齢 1 年時における付着割裂強度は、主筋に CFCC を用いた再生コンクリート梁試験体の付着割裂強度が、鉄筋を用いた再生コンクリート梁試験体よりも小さい値を示す傾向が見られた。これは、CFCC の被覆層であるポリエステルがコンクリートとの付着を妨げ、CFCC とコンクリートが十分に付着をしていなかったためと考える。

- 4. まとめ 主筋に CFCC を用いた再生コンク リート梁部材の構造特性に関する研究として、 1 年過時の付着性状の検討を行った結果、本 実験の範囲内で以下の知見が得られた。
- 1)主筋に CFCC を用いた試験体は、コンクリートの剥落が見られなかった。
- 2) 主筋に CFCC を用いた試験体は、曲げひび割れ幅が大きくなった。
- 3)主筋にCFCCを用いた場合、主筋に鉄筋を用

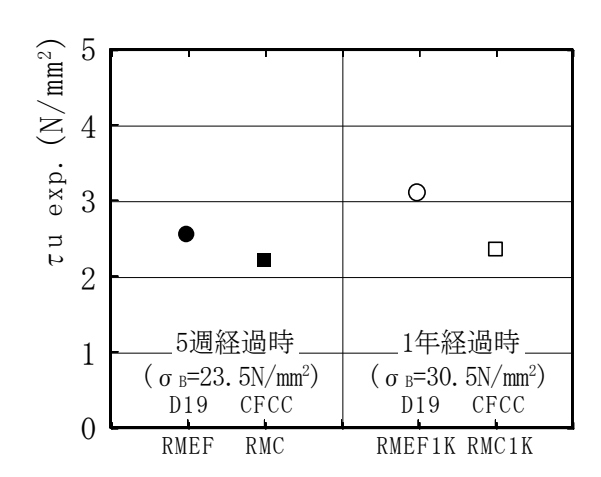


図-7 付着割裂強度

いた再生コンクリート梁試験体よりも、正 加力時の初期剛性とともに付着割裂強度 が低下した。

本研究で主筋に CFCC を用いた再生コンク リート梁試験体の構造特性は、鉄筋を用いた ものより劣る結果となった。今後は、乾燥収 縮を考慮した付着性状について検討を行う。 また、CFCC の特性を活かした構造部材への適 用方法について検討を行う必要がある。現在 は、光ファイバーセンサーを用いて構造モニ タリングを行った試験体についての検討を行っている。

謝辞 本研究を遂行するにあたって、東京建設廃材処理共同組合 葛西再生コンクリート 工場には再生コンクリートの手配でご協力頂きました。株式会社F社およびT社の方々には調合計画において貴重な御助言頂き、また、CFCCの手配をご協力頂きました。ここに記して深謝いたします。

参考文献

- 1)渡辺慎吾、師橋憲貴、桜田智之:普通骨材 と中品質再生骨材を混合使用した鉄筋コ ンクリート梁-乾燥収縮性状と付着性状 -,日本大学生産工学部第40回学術講演 会,2007年12月,pp.35-38
- 2)木村浩,白鳥信令,高木宏:コンクリート 補強用炭素繊維複合ケーブルの基本的特性,コンクリート工学年次論文報告集, 1990年,pp. 1015 - 1018
- 3)日本建築学会:鉄筋コンクリート構造計算 規準・同解説,2010年